

ТРЕХРЕДЖЕОННЫЕ ВЕРШИНЫ В КВАРК-ГЛЮОННОЙ МОДЕЛИ

Н. П. Зотов^{*}), С. В. Мужин^{жк)}, В. А. Царев

УДК 539.171

Сечение дифракционного возбуждения адронов и трехреджеонные вершинные функции вычислены на основе треугольной диаграммы с кварковыми линиями. Результаты сравниваются с экспериментом.

I. Трехреджеонные вершинные функции $\epsilon_{ijk}(t)$ играют центральную роль в реджеонной теории поля и феноменологии инклюзивных процессов. В рамках теории Редже эти функции не вычисляются, и их значения обычно находят из сравнения предсказаний теории с экспериментальными данными по инклюзивным сечениям процессов $h_1 h_2 \rightarrow X h_2$ (рис. 1а) в "трехреджеонной" области кинематических переменных $s \gg m^2$, $s/w^2 \gg 1$.

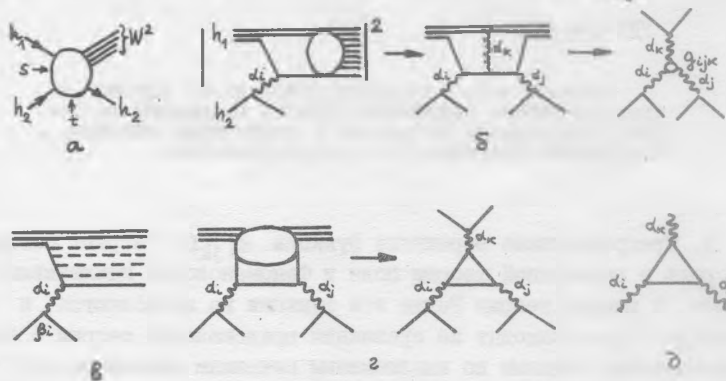
В работе /1/ было предложено для вычисления инклюзивных сечений и нахождения $\epsilon_{ijk}(t)$ использовать кварковую модель (рис. 1б). Вычисления, проведенные в работе /2/, показали, что эта модель довольно хорошо описывает экспериментальные данные по дифракционному возбуждению нуклонов при малых $|t|$ в широкой области кинематических переменных s и w . Там же было указано на другую возможность дифракционного возбуждения, при которой передача импульса (обросшему) кварку сопровождается излучением глюонов (рис. 1в). В этом случае, подобно мультипериферической модели (ММ) или модели типа Дека /3/, для $\epsilon_{ijk}(t)$ возникает треугольная диаграмма, которая, однако, в отличие от ММ, содержит не π -мезонные, а кварковые линии (рис. 1г). В настоящей работе на основе этой мо-

^{*}) НИИЯФ Московского Государственного Университета им. М. В. Ломоносова.

^{жк)} Объединенный Институт ядерных исследований.

дели мы вычисляем величины ε_{ijk} и инклюзивные сечения процесса $pp \rightarrow Xp$ и сравниваем их с экспериментальными данными при малых $|t|/4$.

2. Как известно из расчетов по МПМ /3/ и кварковой модели /1,2/, основная зависимость сечения дифракционного возбуждения от t возникает из адрон-реджеонных вершин $\beta_1(t)$, а функции $\varepsilon_{ijk}(t)$ зависят от t слабо. Поэтому мы будем вычислять ε_{ijk} при $t = 0$.



Р и с. I.

Используя формализм работ /3/, для диаграммы рис. 1д получим следующее выражение $\varepsilon_{ijk}(0)$ через кварк-реджеонные вершины $\gamma_1(u, \mu^2, 0)$:

$$\varepsilon_{ijk}(0) = [16\pi^3(\alpha_k + 1)]^{-1} \int_{-\infty}^0 du (\mu^2 - u)^{\alpha_1 + \alpha_j - \alpha_k - 3} (-u)^{\alpha_k + 1} \times \gamma_1(u, \mu^2, 0) \gamma_j(u, \mu^2, 0) \gamma_k(u, u, 0), \quad (1)$$

где $\alpha_{i,j,k} \equiv \alpha_{i,j,k}(0)$ - траектория Редже, а μ - масса кварка, которую, следуя нерелятивистской модели, мы будем полагать равной $m/3$. Параметризуя зависимость $\gamma_1(u, \mu^2, 0)$ от виртуальности u и в виде /3/

$$\gamma_1(u, \mu^2, 0) = \gamma_1(\mu^2, \mu^2, 0) \exp[(u + \mu^2)(1 + \alpha_1)/2u_0], \quad (2)$$

можно провести интегрирование в (1) и получить следующее выражение для $\varepsilon_{ijk}(0)$:

$$E_{ijk}(0) = Y_i Y_j Y_k I_{ijk}, \quad (3)$$

$$I_{ijk} = [16\pi^3(\alpha_k + 1)]^{-1} \exp \left[\frac{\mu^2}{u_0} \left(1 + \frac{\alpha_i + \alpha_j}{2} \right) \right] \frac{1}{\sqrt{\pi}} (\mu^2/m^2)^{\alpha_k + 3/2} \times \\ \times \exp \left(\frac{\mu^2}{u_0} \omega_{ijk} \right) \Gamma(\alpha_k + 2) K_{\alpha_k - 3/2} \left(\frac{\mu^2 \omega_{ijk}}{2u_0} \right). \quad (4)$$

Здесь $\omega_{ijk} = 2 + \alpha_k + (\alpha_i + \alpha_j)/2$, Γ - гамма-функция, $K_{\alpha_k - 3/2}$ - функция Макдональда. Входящие в выражение (3) кварк-реджеонные вершины $Y_i = Y_i(\mu^2, \mu^2, 0)$ можно выразить $/I, 2/$ через адрон-реджеонные вершины $\beta_i(t)$:

$$Y_i Y_j Y_k = \left(\frac{\mu}{m} \right)^3 \beta_i(0) \beta_j(0) \beta_k(0) \left(\frac{s_q m^2}{s_0 M^2} \right)^{(\alpha_i + \alpha_j + \alpha_k)/2}, \quad (5)$$

где s_q, s_0 - кварковый и адронный шкальные факторы $/I, 2/$. Таким образом, как и в $/I, 2/$, в данной модели удается выразить трехреджеонные вершины E_{ijk} через адрон-реджеонные вершины $\beta_i(t)$, известные из анализа бинарных процессов.

3. Теперь с помощью найденных выражений для E_{ijk} можно вычислить инклюзивное сечение процесса $pp \rightarrow Xp$:

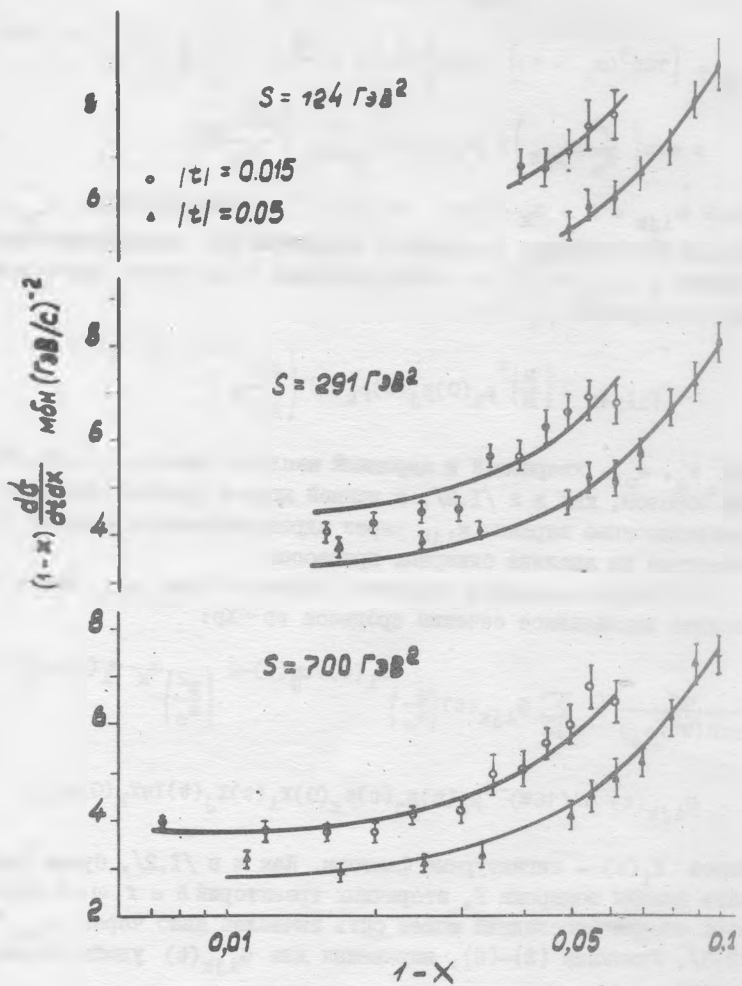
$$\frac{d\sigma}{dt d(W^2/s_0)} = \sum_{ijk} G_{ijk}(t) \left(\frac{s}{s_0} \right)^{\alpha_i(t) + \alpha_j(t) - 2} \left(\frac{W^2}{s_0} \right)^{\alpha_k - \alpha_i(t) - \alpha_j(t)}, \quad (6)$$

$$G_{ijk}(t) = (16\pi)^{-1} \beta_i(t) \beta_j(t) \beta_k(0) X_i(t) X_j(t) \text{Im} X_k(0) E_{ijk}.$$

Здесь $X_i(t)$ - сигнатурные факторы. Как и в $/I, 2/$, будем учитывать вклады померона P , вторичных траекторий $R = f, \omega$ - и π -мезонного обмена (последний может быть вычислен явно через $\sigma_{tot}^{(i)}(s)/2, 3/$. Учитывая (3)-(6), выражения для $G_{ijk}(t)$ удобно переписать в виде

$$G_{ijk}(t) = N G_{ijk}^0(t) \Delta_{ijk}, \quad (7)$$

где N - нормировочный параметр, $G_{ijk}^0(t)$ определены в $/2/$, а Δ_{ijk} имеет вид (при $\alpha_P = 1$ и $\alpha_k = 1/2$):



Р и с. 2.

$$\Delta_{1jP} = \left(\frac{\mu}{m}\right)^3 \left(\frac{s_0 m^2}{s_0 \mu^2}\right)^{(\alpha_1 + \alpha_j + 1)/2} \frac{(\mu^2/u_0)^2 e^{-2\mu^2/u_0}}{\omega_{1jP}^3} \exp\left(\frac{3}{2} \frac{\mu^2}{u_0} \omega_{1jP}\right), \quad (8)$$

$$\Delta_{1jR} = \left(\frac{\mu}{m}\right)^3 \left(\frac{s_0 m^2}{s_0 \mu^2}\right)^{(\alpha_1 + \alpha_j + 1/2)/2} \frac{(\mu^2/u_0)^2 \exp\left(-\frac{3}{2} \frac{\mu^2}{u_0}\right)}{2\omega_{1jR}^2} \times \\ \times \exp\left(2 \frac{\mu^2}{u_0} \omega_{1jR}\right) K_1\left(\frac{\mu^2 \omega_{1jR}}{2u_0}\right),$$

где

$$K_1(z) = \frac{1}{z} + \sum_{k=0}^{\infty} \frac{\left(\frac{z}{2}\right)^{2k+1}}{k!(k+1)!} \left[\ln \frac{z}{2} - \frac{1}{2(k+1)} + C - \sum_{m=1}^k \frac{1}{m} \right], \quad (9)$$

C - постоянная Эйлера.

Используя полученные выражения и значения $p_1(t)$, найденные в /2/, можно вычислить значения G_{ijk} и инклюзивное сечение. Результаты вычислений приведены в таблице и показаны на рис. 2 для наилучше-

Таблица

| ijk | PPP | PPR | PRP | PRR | RRP | RRR |
|-----------|------|-----|------|------|------|------|
| G_{ijk} | 0,82 | 1,5 | 4,56 | 11,3 | 18,2 | 43,9 |

го варианта подгонки свободных параметров u_0 , $k_0 = s_0/s_0$ и нормировочного параметра N ($\chi^2 = 50$ на 54 степени свободы). При этом найденные значения параметров $u_0 = 0,14$ ГэВ² и $k_0 = 0,034$ ($N = 251$) оказались весьма далекими от "стандартных" значений, которые можно было бы ожидать из простых соображений. Другие варианты подгонки, когда менялись один или два из трех параметров, дают значительно худшие χ^2 (~300-900).

Поступила в редакцию
7 мая 1979 г.

Л и т е р а т у р а

1. В. А. Царев, Краткие сообщения по физике ФИАН № 3, 40 (1979).
2. S. V. Mukhin, V. A. Tsarev, Preprint JINR, E2-122-93, Dubna, 1979.
3. H. D. I. Abarbanel et al., Ann. of Phys., 73, 156 (1972). C. Sorensen, Phys. Rev., D6, 2554 (1972). K. G. Boreskov, A. B. Kaidalov, L. A. Ponomarev, Preprint ITEP-43, Moscow, 1973. R. Shankar, Nucl. Phys., B79, 126 (1974). Yu. M. Kazarinov et al., Preprint JINR, E2-9218, Dubna, 1975.
4. Yu. Akimov et al., Phys. Rev. Lett., 39, 1432 (1977).